



NATA LIGHTING CO.,LTD.
www.nata.cn
Email:info@nata.com
Tel:+86-750-3770000 Fax:+86-750-3771111
Address:380JinOu Road,GaoXin Zone,Jiang Men City,Guangdong,China

NATA

Client:

LumCAT: 2-2640-L

Luminaire: 92.70.412.00

Report No: 20231013-B014

Ballast type: AC

Test No: 20231013-C014

Voltage(V): 34.110

LampCAT: LUMINUS CXM-14-AC40

Current(A): 0.530

Lamp flux(lm): 2320.0

Power (W): 18.078

Number of Lamps: 1

PF: 0.000

Length(mm): 0

Width(mm): 0

Phm Type: C

Height(mm): 0

Photometric Results

Lumens(lm): 2138.82, Efficiency(%): 92.19% , Luminous Efficacy(lm/W): 118.31

Central intensity(cd): 6129.166, Maximum intensity(cd): 6129.166

Angle of maximum intensity: C=0.0 γ =0.0

Beam Angle(50%Imax): [C0/180]Total=27.2

[C90/270]Total=27.2

Field angle(10%Imax): [C0/180]Total=63.2

[C90/270]Total=63.2

Maximum s/h(1/2): C0_180=0.45 C90_270=0.45

Maximum s/h(1/4): C0_180=0.51 C90_270=0.51

Up flux rate of lamp(%): 0.00%

Down flux rate of lamp(%): 92.19%

Up flux rate of LUM(%): - -

Down flux rate of LUM(%): 100.00%

CIE Type : Direct lighting

Output flux ratio in π solid angle : 98.018%

$\gamma(^{\circ})$	Average I(cd)	Zonal F(lm)	Sum F(lm)	Eff Flux(%)	Eff Sum(%)
0.0	6129.166	0.000	0	0.00%	0.00%
1.0	6088.412	5.846	5.846	0.25%	0.27%
2.0	6005.035	17.358	23.204	0.75%	1.08%
3.0	5874.401	28.412	51.615	1.22%	2.41%
4.0	5692.080	38.717	90.332	1.67%	4.22%
5.0	5470.250	48.020	138.352	2.07%	6.47%
6.0	5221.090	56.186	194.538	2.42%	9.10%
7.0	4955.808	63.168	257.705	2.72%	12.05%
8.0	4658.767	68.810	326.515	2.97%	15.27%
9.0	4343.320	72.957	399.472	3.14%	18.68%
10.0	4056.727	76.017	475.489	3.28%	22.23%
11.0	3764.391	78.149	553.638	3.37%	25.89%
12.0	3496.825	79.375	633.014	3.42%	29.60%
13.0	3230.574	79.837	712.851	3.44%	33.33%
14.0	2974.495	79.424	792.276	3.42%	37.04%
15.0	2748.721	78.571	870.846	3.39%	40.72%
16.0	2523.917	77.259	948.105	3.33%	44.33%
17.0	2326.027	75.527	1023.632	3.26%	47.86%
18.0	2140.800	73.648	1097.28	3.17%	51.30%
19.0	1984.703	71.775	1169.056	3.09%	54.66%
20.0	1834.418	69.901	1238.956	3.01%	57.93%
21.0	1692.713	67.728	1306.684	2.92%	61.09%
22.0	1560.141	65.367	1372.052	2.82%	64.15%
23.0	1447.151	63.101	1435.153	2.72%	67.10%
24.0	1314.171	60.372	1495.525	2.60%	69.92%
25.0	1191.133	56.965	1552.49	2.46%	72.59%
26.0	1121.104	54.581	1607.071	2.35%	75.14%
27.0	1042.793	52.940	1660.011	2.28%	77.61%
28.0	950.172	50.458	1710.469	2.17%	79.97%
29.0	855.241	47.235	1757.703	2.04%	82.18%
30.0	757.057	43.532	1801.235	1.88%	84.22%
31.0	667.599	39.646	1840.881	1.71%	86.07%
32.0	581.586	35.788	1876.669	1.54%	87.74%
33.0	495.027	31.717	1908.386	1.37%	89.23%
34.0	415.830	27.565	1935.952	1.19%	90.51%
35.0	344.376	23.609	1959.561	1.02%	91.62%
36.0	286.109	20.075	1979.636	0.87%	92.56%
37.0	246.095	17.358	1996.993	0.75%	93.37%

$\gamma(^{\circ})$	Average I(cd)	Zonal F(lm)	Sum F(lm)	Eff Flux(%)	Eff Sum(%)
38.0	193.094	14.660	2011.653	0.63%	94.05%
39.0	149.178	11.683	2023.335	0.50%	94.60%
40.0	111.420	9.089	2032.424	0.39%	95.03%
41.0	88.953	7.135	2039.559	0.31%	95.36%
42.0	71.884	5.843	2045.403	0.25%	95.63%
43.0	60.232	4.894	2050.297	0.21%	95.86%
44.0	51.638	4.222	2054.519	0.18%	96.06%
45.0	45.286	3.725	2058.244	0.16%	96.23%
46.0	40.318	3.348	2061.592	0.14%	96.39%
47.0	36.679	3.062	2064.654	0.13%	96.53%
48.0	33.766	2.848	2067.502	0.12%	96.67%
49.0	31.593	2.684	2070.186	0.12%	96.79%
50.0	29.891	2.563	2072.749	0.11%	96.91%
51.0	28.549	2.472	2075.222	0.11%	97.03%
52.0	27.628	2.411	2077.632	0.10%	97.14%
53.0	26.950	2.374	2080.006	0.10%	97.25%
54.0	26.487	2.355	2082.362	0.10%	97.36%
55.0	26.113	2.348	2084.71	0.10%	97.47%
56.0	25.878	2.349	2087.059	0.10%	97.58%
57.0	25.636	2.355	2089.414	0.10%	97.69%
58.0	25.304	2.356	2091.77	0.10%	97.80%
59.0	24.861	2.345	2094.115	0.10%	97.91%
60.0	24.238	2.320	2096.435	0.10%	98.02%
61.0	23.401	2.273	2098.708	0.10%	98.12%
62.0	22.384	2.206	2100.914	0.10%	98.23%
63.0	21.242	2.122	2103.036	0.09%	98.33%
64.0	20.003	2.024	2105.06	0.09%	98.42%
65.0	18.855	1.923	2106.983	0.08%	98.51%
66.0	17.685	1.823	2108.806	0.08%	98.60%
67.0	16.571	1.723	2110.529	0.07%	98.68%
68.0	15.651	1.632	2112.161	0.07%	98.75%
69.0	14.918	1.559	2113.72	0.07%	98.83%
70.0	14.295	1.500	2115.221	0.06%	98.90%
71.0	13.811	1.453	2116.673	0.06%	98.96%
72.0	13.361	1.413	2118.086	0.06%	99.03%
73.0	12.994	1.378	2119.464	0.06%	99.09%
74.0	12.655	1.348	2120.813	0.06%	99.16%
75.0	12.288	1.318	2122.131	0.06%	99.22%

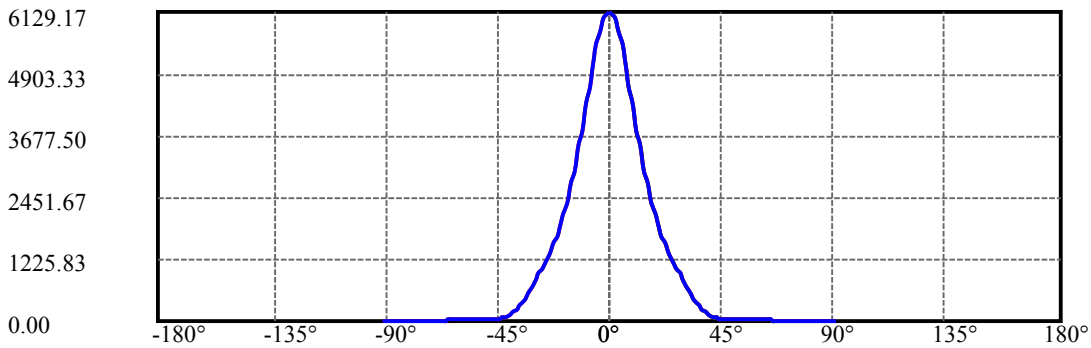
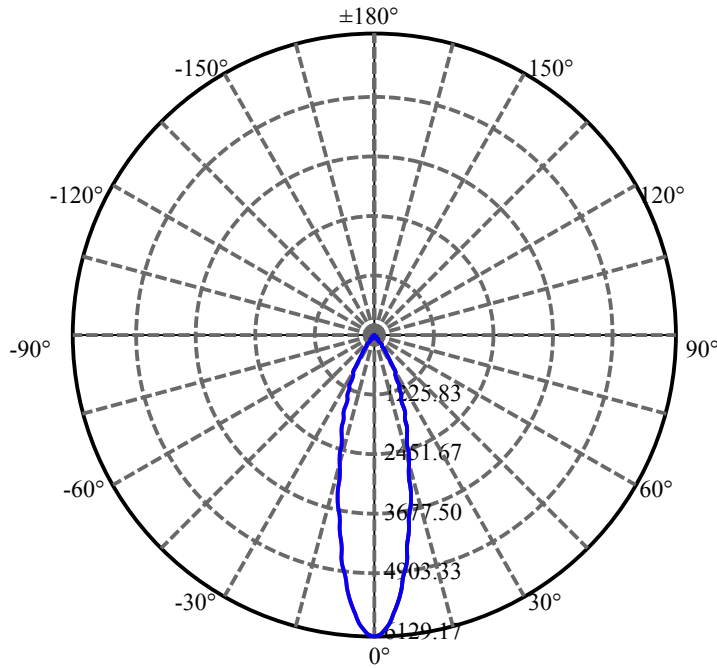
$\gamma(^{\circ})$	Average I(cd)	Zonal F(lm)	Sum F(lm)	Eff Flux(%)	Eff Sum(%)
76.0	11.977	1.288	2123.419	0.06%	99.28%
77.0	11.687	1.262	2124.681	0.05%	99.34%
78.0	11.389	1.235	2125.916	0.05%	99.40%
79.0	11.078	1.207	2127.123	0.05%	99.45%
80.0	10.794	1.179	2128.302	0.05%	99.51%
81.0	10.531	1.153	2129.455	0.05%	99.56%
82.0	10.261	1.128	2130.583	0.05%	99.61%
83.0	9.998	1.101	2131.684	0.05%	99.67%
84.0	9.798	1.078	2132.763	0.05%	99.72%
85.0	9.590	1.058	2133.821	0.05%	99.77%
86.0	9.389	1.037	2134.858	0.04%	99.81%
87.0	9.209	1.018	2135.876	0.04%	99.86%
88.0	9.023	0.999	2136.875	0.04%	99.91%
89.0	8.857	0.980	2137.855	0.04%	99.95%
90.0	8.787	0.967	2138.822	0.04%	100.00%

ZONAL LUMEN SUMMARY

Zone	Lumens	%Lamp	%Fixt
0-30	1801.24	77.64%	84.22%
0-40	2032.42	87.61%	95.03%
0-60	2096.43	90.36%	98.02%
0-90	2137.85	92.15%	99.95%
0-120	2137.85	92.15%	99.95%
0-180	2138.82	92.19%	100.00%
60-90	41.42	1.79%	1.94%
90-120	0.00	0.00%	0.00%
90-130	0.00	0.00%	0.00%
90-150	0.00	0.00%	0.00%
90-180	0.00	0.00%	0.00%
0-28.01	1711.06	73.75%	80.00%

ZONAL LUMEN SUMMARY

0-10	475.49
10-20	763.47
20-30	562.28
30-40	231.19
40-50	40.33
50-60	23.69
60-70	18.79
70-80	13.08
80-90	9.55
90-100	0.00
100-110	0.00
110-120	0.00
120-130	0.00
130-140	0.00
140-150	0.00
150-160	0.00
160-170	0.00
170-180	0.00



C0(Max): —————

C0/C180: —————

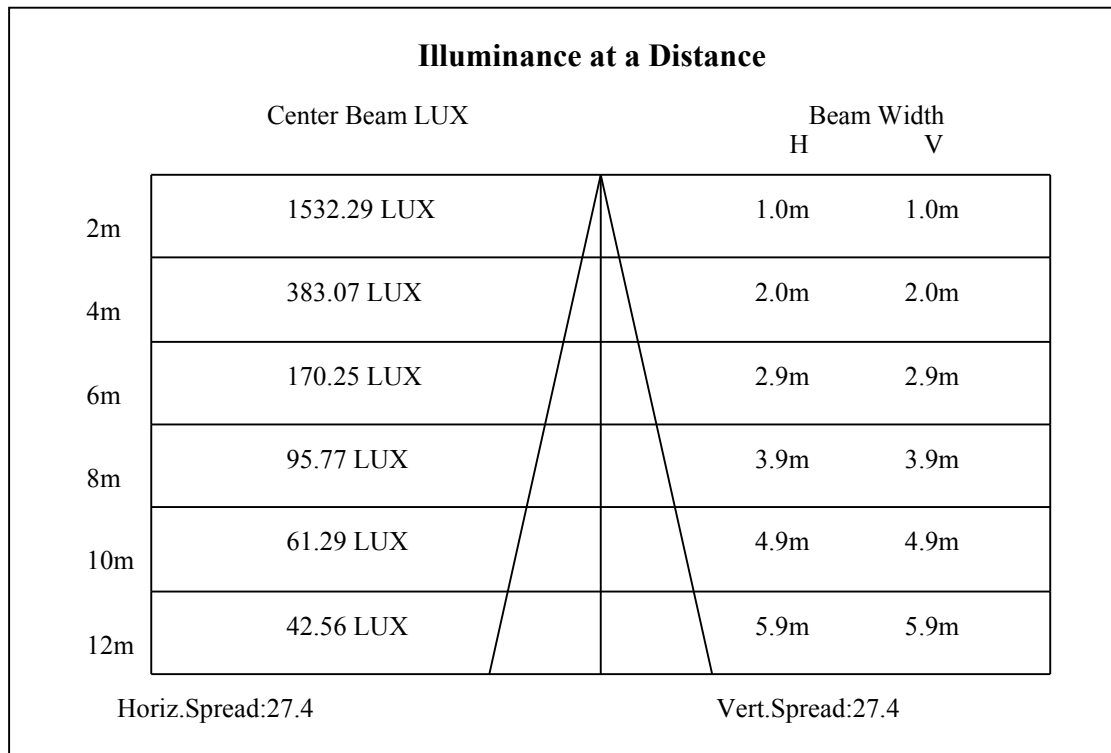
C90/C270: —————

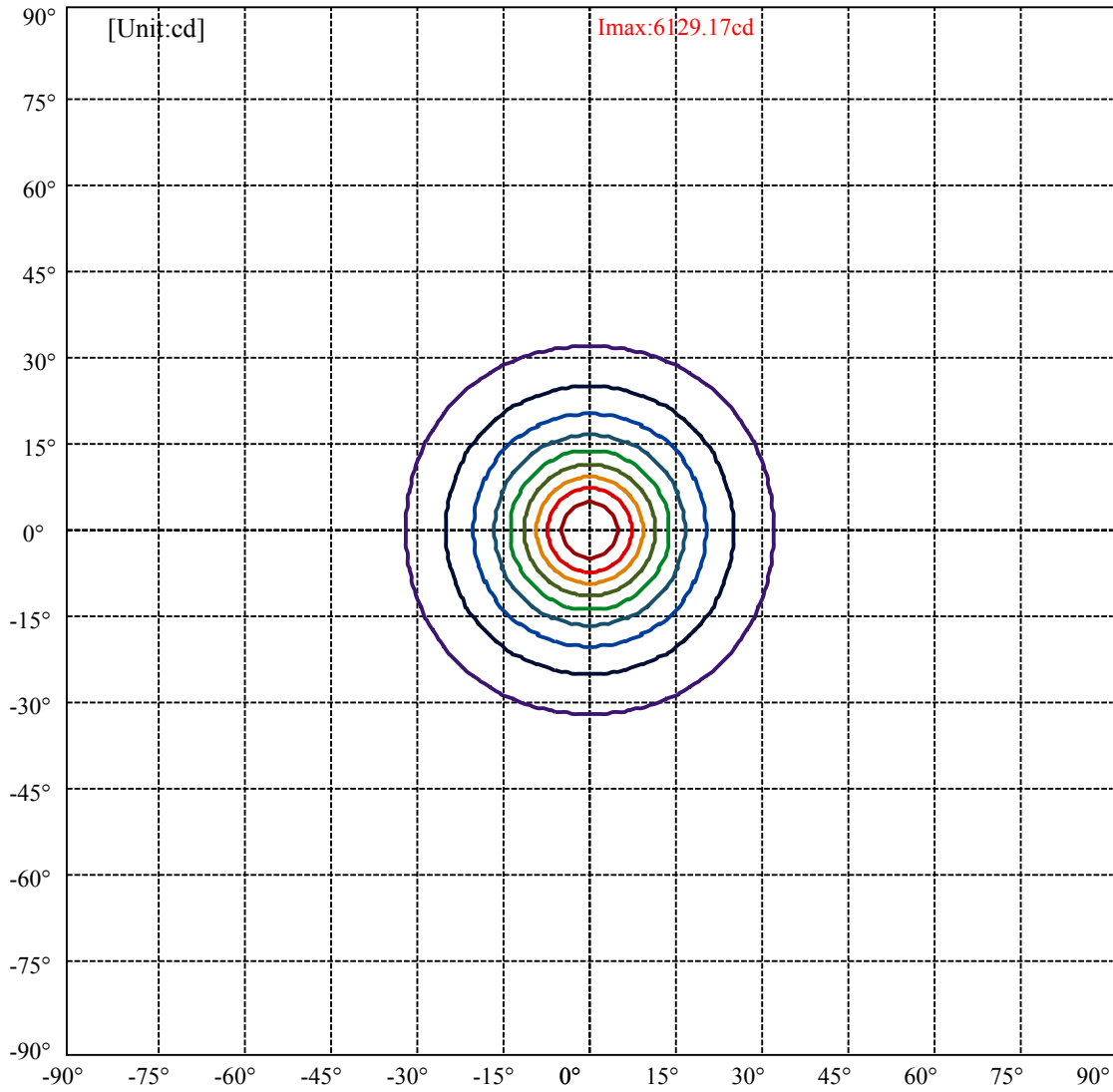
Field angle(10%Imax):C0/180Left:31.6 Right:31.6

:C90/270Left:31.6 Right:31.6

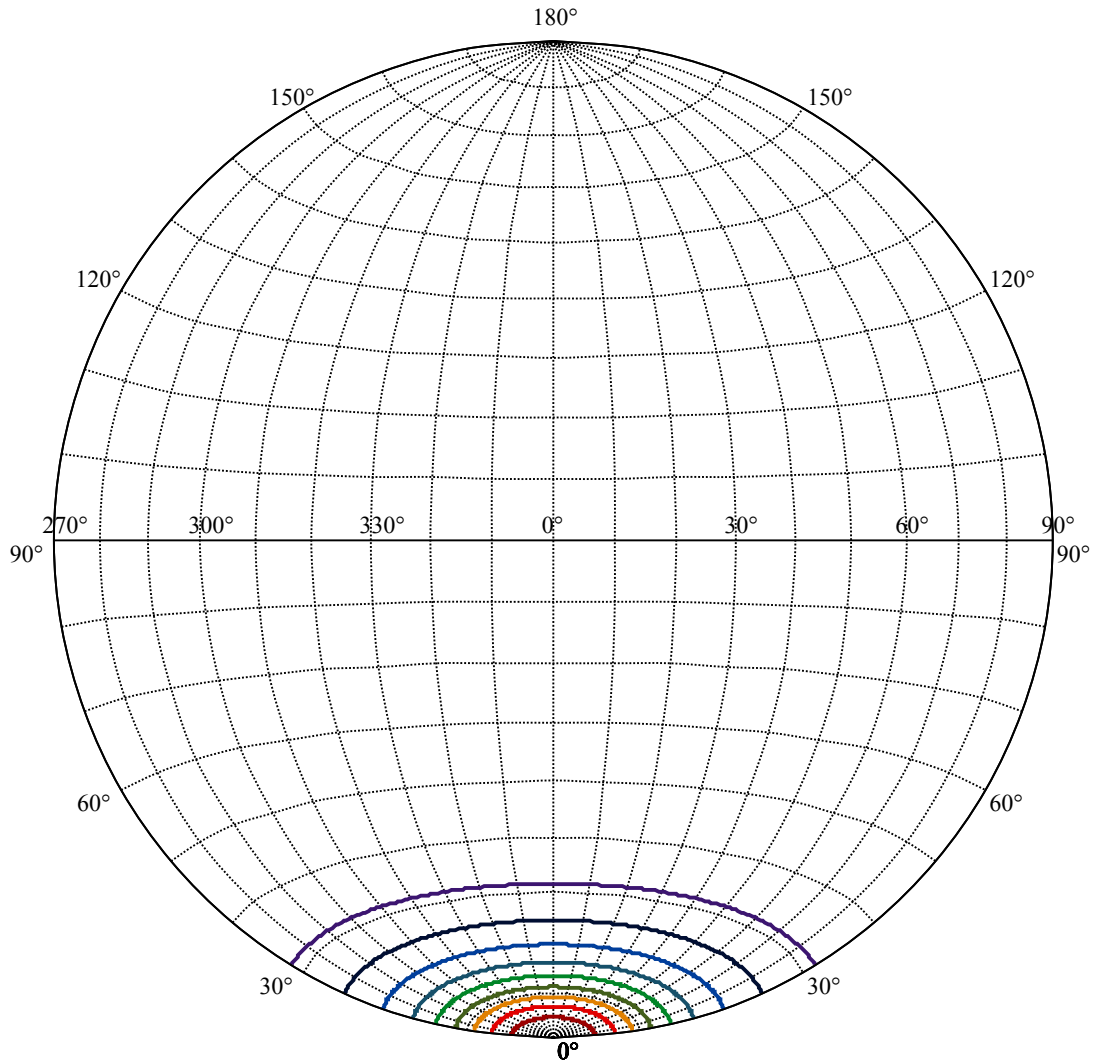
Beam Angle(50%Imax):C0/180Left:13.6 Right:13.6

:C90/270Left:13.6 Right:13.6





(10%Imax) 612.917	—
(20%Imax) 1225.83	—
(30%Imax) 1838.75	—
(40%Imax) 2451.67	—
(50%Imax) 3064.58	—
(60%Imax) 3677.5	—
(70%Imax) 4290.42	—
(80%Imax) 4903.33	—
(90%Imax) 5516.25	—



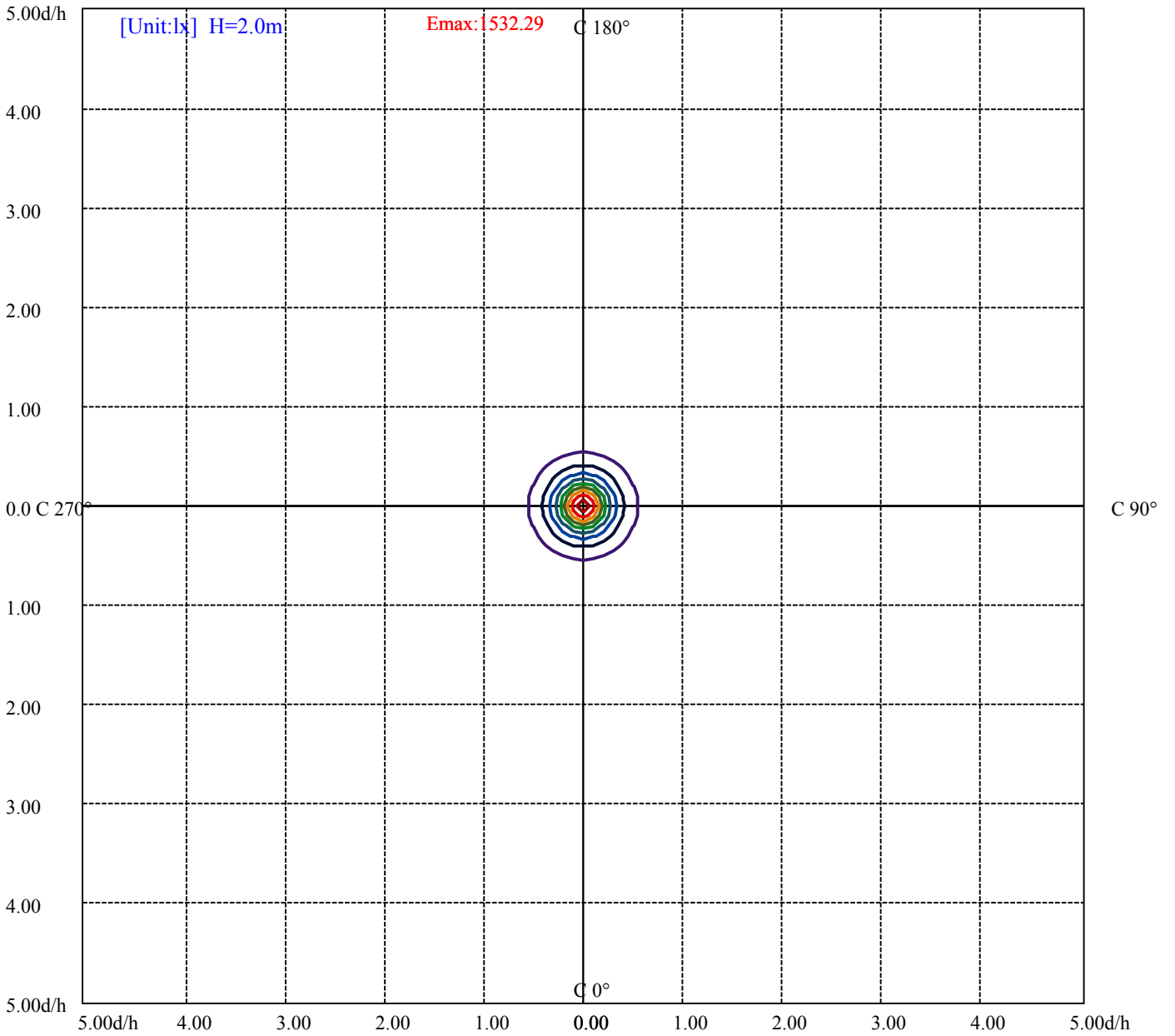
House

[Unit:cd]

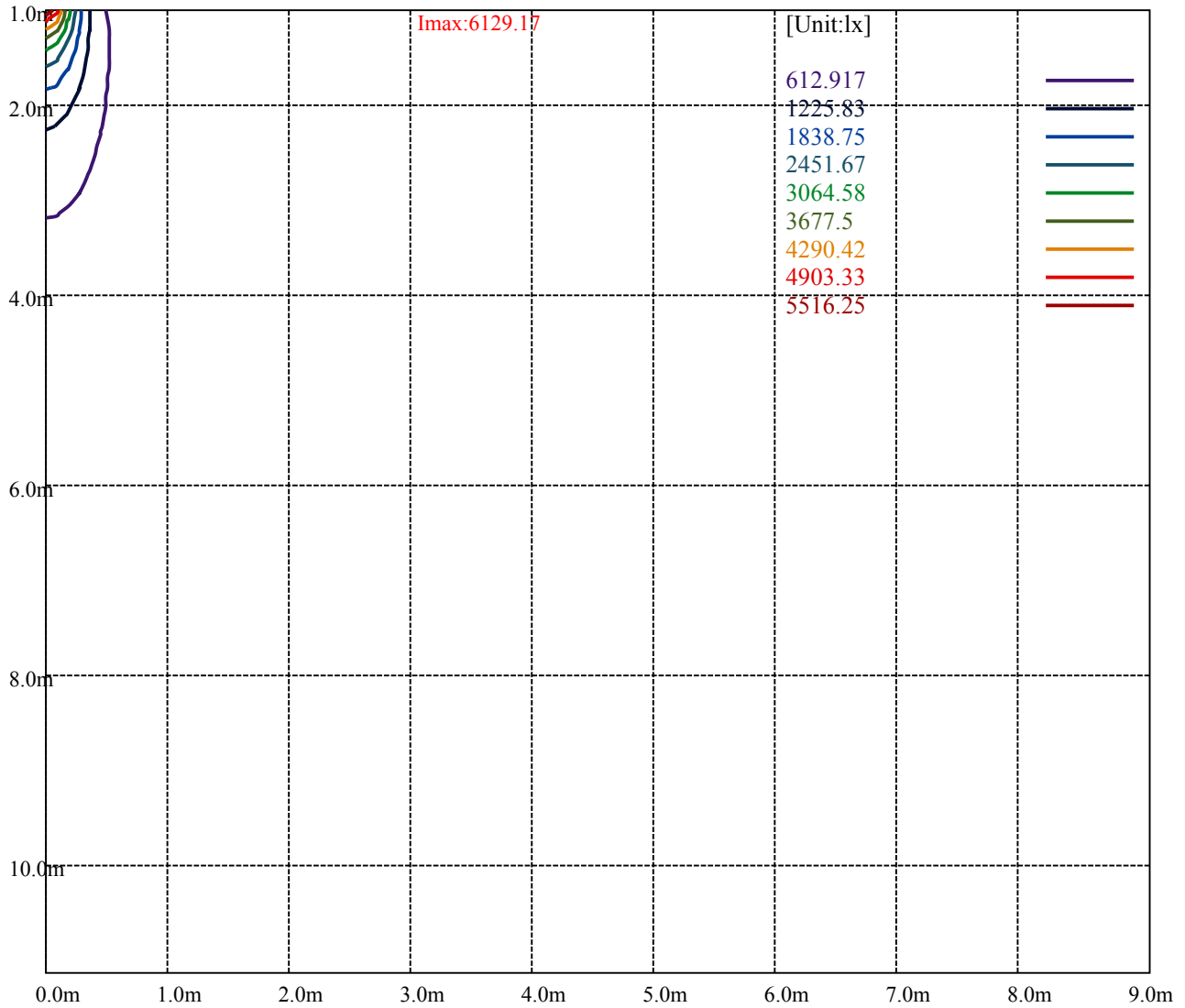
Road

I_{max}:6129.17

(10%I _{max})	612.917	—
(20%I _{max})	1225.83	—
(30%I _{max})	1838.75	—
(40%I _{max})	2451.67	—
(50%I _{max})	3064.58	—
(60%I _{max})	3677.5	—
(70%I _{max})	4290.42	—
(80%I _{max})	4903.33	—
(90%I _{max})	5516.25	—



(10%Emax) 153.229	—
(20%Emax) 306.4575	—
(30%Emax) 459.6875	—
(40%Emax) 612.915	—
(50%Emax) 766.145	—
(60%Emax) 919.375	—
(70%Emax) 1072.603	—
(80%Emax) 1225.833	—
(90%Emax) 1379.06	—



Luminance Table

γ	45	50	55	60	65	70	75	80	85
C0	0	0	0	0	0	0	0	0	0
C45	0	0	0	0	0	0	0	0	0
C90	0	0	0	0	0	0	0	0	0

L(Hor)(65)	L(Ver)(65)	L45(65)	L(Hor)(75)	L(Ver)(75)	L45(75)	L(Hor)(85)	L(Ver)(85)	L45(85)
0	0	0	0	0	0	0	0	0

Glare Table

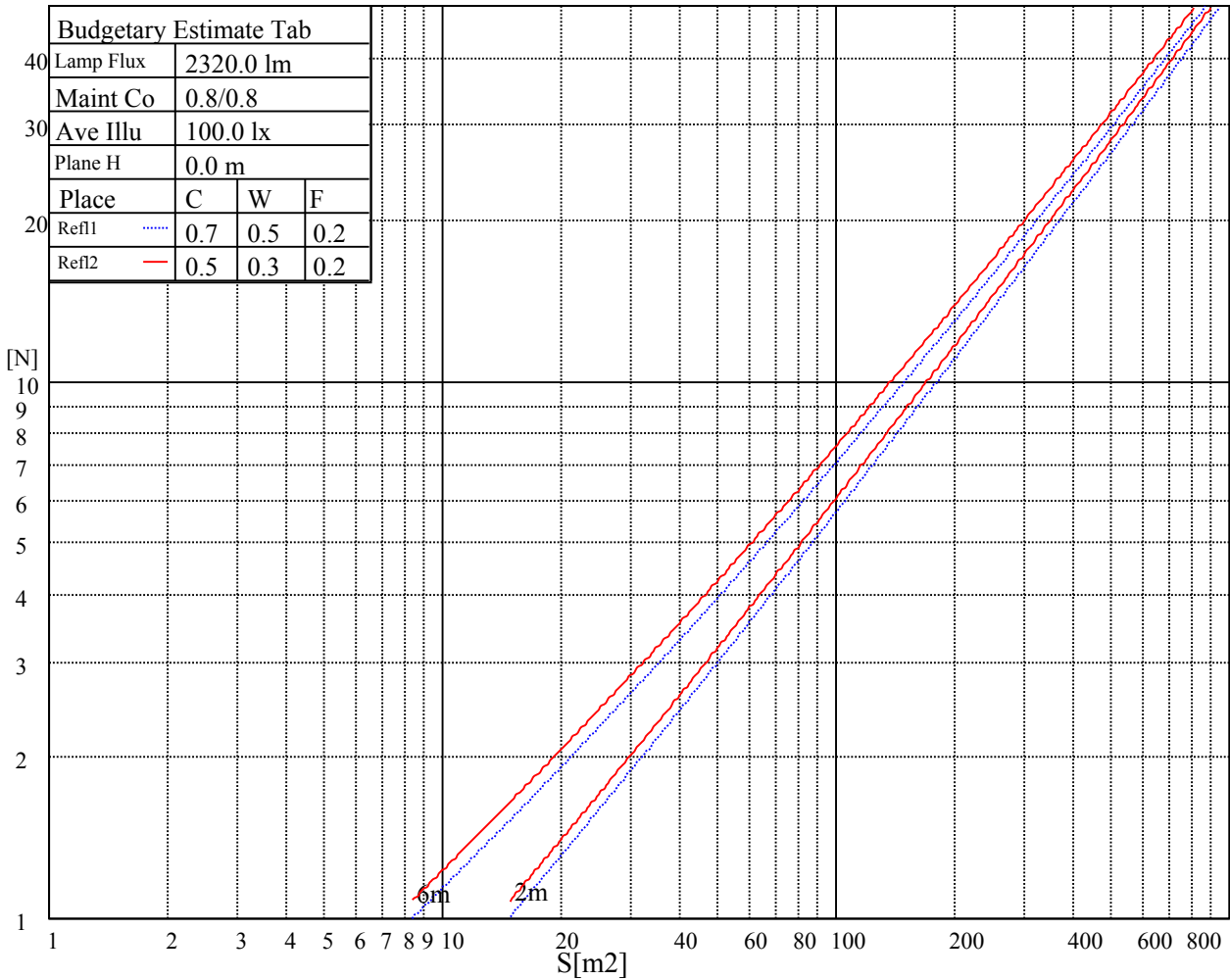
Glare	Quality	Service Values Illuminance(lx)							
1.15	A	2000	1000	500	<=300				
1.5	B		2000	1000	500	<=300			
1.85	C			2000	1000	500	<=300		
2.2	D				2000	1000	500	<=300	
2.55	E					2000	1000	500	<=300
		a	b	c	d	e	f	g	h

Luminance Limiting Curve

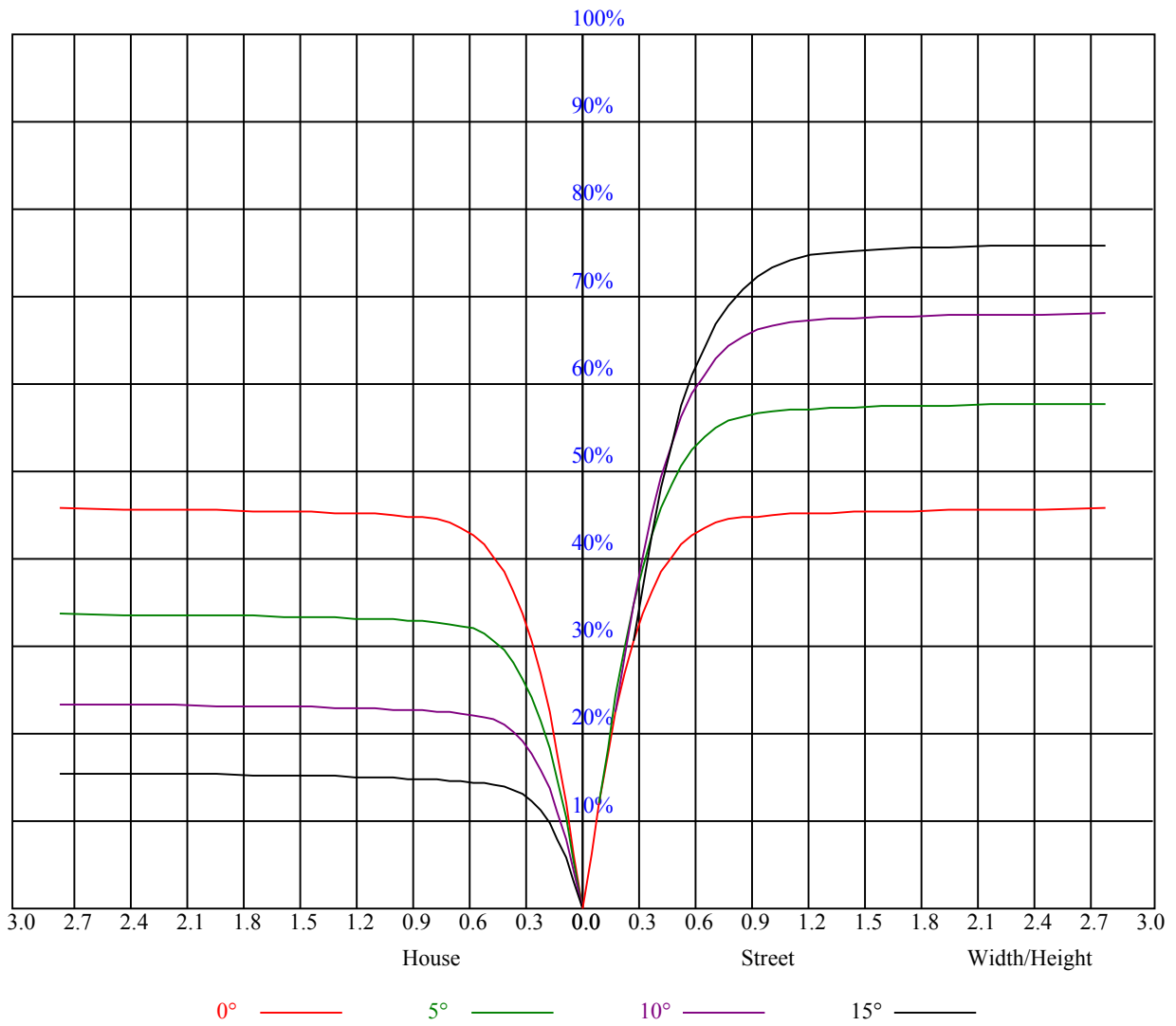


Illumination assessment according UGR											
Rf of Ceiling	70	70	50	50	30	70	70	50	50	30	
Rf of Wall	50	30	50	30	30	50	30	50	30	30	
Rf of Floor	20	20	20	20	20	20	20	20	20	20	
Room dimensions		Viewed crosswise					Viewed endwise				
X	Y										
2H	2H	非数字	非数字	非数字	非数字	非数字	非数字	非数字	非数字	非数字	
	3H	非数字	非数字	非数字	非数字	非数字	非数字	非数字	非数字	非数字	
	4H	非数字	非数字	非数字	非数字	非数字	非数字	非数字	非数字	非数字	
	6H	非数字	非数字	非数字	非数字	非数字	非数字	非数字	非数字	非数字	
	8H	非数字	非数字	非数字	非数字	非数字	非数字	非数字	非数字	非数字	
	12H	非数字	非数字	非数字	非数字	非数字	非数字	非数字	非数字	非数字	
4H	2H	非数字	非数字	非数字	非数字	非数字	非数字	非数字	非数字	非数字	
	3H	非数字	非数字	非数字	非数字	非数字	非数字	非数字	非数字	非数字	
	4H	非数字	非数字	非数字	非数字	非数字	非数字	非数字	非数字	非数字	
	6H	非数字	非数字	非数字	非数字	非数字	非数字	非数字	非数字	非数字	
	8H	非数字	非数字	非数字	非数字	非数字	非数字	非数字	非数字	非数字	
8H	12H	非数字	非数字	非数字	非数字	非数字	非数字	非数字	非数字	非数字	
	4H	非数字	非数字	非数字	非数字	非数字	非数字	非数字	非数字	非数字	
	6H	非数字	非数字	非数字	非数字	非数字	非数字	非数字	非数字	非数字	
	8H	非数字	非数字	非数字	非数字	非数字	非数字	非数字	非数字	非数字	
12H	12H	非数字	非数字	非数字	非数字	非数字	非数字	非数字	非数字	非数字	
	4H	非数字	非数字	非数字	非数字	非数字	非数字	非数字	非数字	非数字	
	6H	非数字	非数字	非数字	非数字	非数字	非数字	非数字	非数字	非数字	
	8H	非数字	非数字	非数字	非数字	非数字	非数字	非数字	非数字	非数字	
Variation with the observer position at spacings:											
S = 1.0H		非数字/非数字					非数字/非数字				
S = 1.5H		非数字/非数字					非数字/非数字				
S = 2.0H		非数字/非数字					非数字/非数字				
Standard tables:		BK0					BK0				
Uncorrected UGR		负无穷大					负无穷大				

UGR calculation is based on CIE Publ. 117 ,S/H = 0.25



RHOCC	80			70			50			30			10			0
RHOW	50	30	10	50	30	10	50	30	10	50	30	10	50	30	10	0
RCR	COEFFICIENTS OF UTILIZATION RHOF=20 CU															
0	1.10	1.10	1.10	1.07	1.07	1.07	1.02	1.02	1.02	0.98	0.98	0.98	0.94	0.94	0.94	0.92
1	1.03	1.01	0.99	1.01	0.99	0.97	0.97	0.95	0.94	0.94	0.92	0.91	0.90	0.89	0.89	0.87
2	0.97	0.93	0.90	0.95	0.92	0.89	0.92	0.90	0.87	0.89	0.87	0.86	0.87	0.85	0.84	0.82
3	0.91	0.87	0.84	0.90	0.86	0.83	0.88	0.84	0.82	0.85	0.83	0.81	0.83	0.81	0.79	0.78
4	0.86	0.82	0.78	0.85	0.81	0.78	0.83	0.80	0.77	0.82	0.79	0.76	0.80	0.77	0.75	0.74
5	0.82	0.77	0.74	0.81	0.77	0.74	0.80	0.76	0.73	0.78	0.75	0.72	0.77	0.74	0.72	0.71
6	0.78	0.73	0.70	0.78	0.73	0.70	0.76	0.72	0.69	0.75	0.72	0.69	0.74	0.71	0.68	0.67
7	0.75	0.70	0.67	0.74	0.70	0.66	0.73	0.69	0.66	0.72	0.68	0.66	0.71	0.68	0.65	0.64
8	0.71	0.67	0.64	0.71	0.67	0.63	0.70	0.66	0.63	0.69	0.66	0.63	0.68	0.65	0.63	0.62
9	0.69	0.64	0.61	0.68	0.64	0.61	0.67	0.63	0.60	0.67	0.63	0.60	0.66	0.63	0.60	0.59
10	0.66	0.61	0.58	0.65	0.61	0.58	0.65	0.61	0.58	0.64	0.60	0.58	0.64	0.60	0.58	0.57



Intensity data(cd)

C/γ(°)	0.0	1.0	2.0	3.0	4.0	5.0	6.0	7.0	8.0
0.0	6091.11	5970.44	5835.93	5610.64	5373.73	5122.42	4785.32	4500.25	4203.00
45.0	6160.86	6108.82	5998.67	5869.70	5647.17	5423.55	5171.13	4839.01	4558.37
90.0	6113.25	5970.99	5819.32	5652.16	5434.62	5129.62	4866.13	4590.47	4304.85
135.0	6151.45	6102.18	6044.61	5904.57	5693.67	5500.49	5265.23	5018.91	4690.11
180.0	6091.11	6162.52	6124.88	6086.68	5987.60	5801.61	5624.48	5399.19	5154.53
225.0	6160.86	6128.75	6070.63	5955.49	5807.70	5579.64	5352.14	5090.32	4757.64
270.0	6113.25	6147.02	6148.12	6039.63	5911.76	5737.40	5546.43	5311.73	4983.48
315.0	6151.45	6116.57	5998.12	5876.34	5680.39	5467.28	5157.85	4896.58	4618.15
360.0	6091.11	5970.44	5835.93	5610.64	5373.73	5122.42	4785.32	4500.25	4203.00
C/γ(°)	9.0	10.0	11.0	12.0	13.0	14.0	15.0	16.0	17.0
0.0	3883.61	3627.87	3376.02	3132.46	2847.94	2643.69	2446.63	2265.62	2066.35
45.0	4187.50	3916.82	3669.39	3358.30	3114.75	2886.69	2670.81	2420.61	2242.37
90.0	3935.64	3671.60	3428.60	3173.98	2892.23	2676.35	2426.70	2241.82	2079.63
135.0	4412.79	4130.49	3774.01	3521.04	3274.17	2984.11	2762.70	2494.79	2310.46
180.0	4826.83	4550.62	4200.78	3890.25	3615.70	3325.09	3084.30	2857.35	2604.39
225.0	4462.05	4162.59	3821.61	3569.75	3325.09	3037.25	2810.86	2599.41	2410.65
270.0	4716.13	4429.40	4132.70	3858.15	3548.72	3299.07	3062.16	2777.09	2588.33
315.0	4322.01	3964.42	3712.01	3470.67	3226.01	2943.70	2725.61	2534.64	2306.03
360.0	3883.61	3627.87	3376.02	3132.46	2847.94	2643.69	2446.63	2265.62	2066.35
C/γ(°)	18.0	19.0	20.0	21.0	22.0	23.0	24.0	25.0	26.0
0.0	1921.32	1784.05	1629.06	1518.35	1389.38	1295.27	1088.53	1088.53	1001.73
45.0	2077.42	1927.97	1791.24	1632.38	1520.56	1418.16	1300.26	1207.26	1097.66
90.0	1895.31	1759.69	1635.70	1522.22	1391.59	1293.61	1086.92	1086.92	1001.51
135.0	2141.63	1991.07	1846.60	1682.20	1570.38	1461.34	1358.93	1242.13	1145.82
180.0	2406.77	2223.55	2066.90	1916.90	1740.87	1608.02	1500.64	1371.11	1274.79
225.0	2190.90	2030.37	1880.92	1740.87	1587.54	1476.28	1348.97	1093.62	1093.62
270.0	2346.44	2170.41	2013.76	1842.72	1708.77	1584.22	1485.14	1351.18	1265.38
315.0	2146.61	1990.52	1811.17	1686.07	1572.04	1440.30	1343.99	1088.31	1088.31
360.0	1921.32	1784.05	1629.06	1518.35	1389.38	1295.27	1088.53	1088.53	1001.73
C/γ(°)	27.0	28.0	29.0	30.0	31.0	32.0	33.0	34.0	35.0
0.0	916.99	830.86	722.64	636.01	552.82	473.66	402.42	321.72	262.98
45.0	1010.20	923.30	818.13	732.88	649.30	568.48	471.61	400.76	336.00
90.0	913.22	827.87	721.09	638.50	556.64	459.99	389.14	325.59	254.79
135.0	1056.70	943.23	855.77	747.27	660.37	577.89	480.47	408.51	343.75
180.0	1185.67	1074.97	984.19	874.59	782.15	692.47	606.12	505.93	432.87
225.0	1051.61	963.43	876.75	766.54	677.86	593.50	513.68	439.51	357.97
270.0	1166.85	1082.72	994.70	880.12	791.00	702.99	592.84	513.13	421.79
315.0	1041.09	955.02	868.66	780.54	670.66	583.70	503.94	411.50	344.85
360.0	916.99	830.86	722.64	636.01	552.82	473.66	402.42	321.72	262.98
C/γ(°)	36.0	37.0	38.0	39.0	40.0	41.0	42.0	43.0	44.0
0.0	200.88	160.03	126.54	95.48	77.94	65.10	53.86	47.33	42.29
45.0	290.61	290.61	164.01	130.30	98.58	80.54	67.14	55.41	48.66
90.0	206.63	165.78	131.74	100.19	81.54	67.75	57.73	48.88	43.56
135.0	283.96	283.96	170.93	136.50	109.77	85.08	70.85	60.34	52.64
180.0	367.55	306.66	292.82	228.11	152.28	121.50	92.22	75.50	63.21
225.0	299.74	247.49	200.93	152.22	121.28	92.11	75.78	63.55	52.86
270.0	353.71	293.37	279.54	216.05	142.54	112.92	86.19	70.96	59.78
315.0	285.79	220.86	178.24	134.56	107.44	86.63	71.30	59.89	50.10
360.0	200.88	160.03	126.54	95.48	77.94	65.10	53.86	47.33	42.29

Intensity data(cd)

C/γ(°)	45.0	46.0	47.0	48.0	49.0	50.0	51.0	52.0	53.0
0.0	38.36	34.54	32.33	30.56	29.12	27.79	27.18	26.63	26.24
45.0	43.45	38.47	35.43	33.05	31.11	29.28	28.23	27.51	27.01
90.0	39.41	35.37	32.99	30.72	29.28	28.29	27.46	26.96	26.57
135.0	45.39	41.02	36.70	34.04	31.94	29.95	28.84	28.01	27.34
180.0	52.81	46.77	41.96	37.36	34.54	32.33	30.17	28.89	27.95
225.0	46.66	41.90	37.36	34.49	32.27	30.56	28.78	27.79	27.01
270.0	51.87	44.56	40.13	36.75	33.38	31.39	29.78	28.17	27.23
315.0	44.34	39.91	36.53	33.16	31.11	29.56	27.95	27.07	26.24
360.0	38.36	34.54	32.33	30.56	29.12	27.79	27.18	26.63	26.24
C/γ(°)	54.0	55.0	56.0	57.0	58.0	59.0	60.0	61.0	62.0
0.0	26.02	25.85	25.57	25.35	24.80	24.08	23.19	22.20	20.76
45.0	26.57	26.35	26.24	25.96	25.74	25.30	24.52	23.58	22.25
90.0	26.35	26.13	26.13	25.79	25.46	24.69	23.75	22.75	21.70
135.0	26.85	26.51	26.29	26.13	25.79	25.52	24.96	23.86	22.86
180.0	27.23	26.57	26.24	25.96	25.74	25.35	25.08	24.63	23.69
225.0	26.51	26.07	25.74	25.52	25.08	24.80	24.24	23.36	22.53
270.0	26.57	25.96	25.63	25.35	25.13	24.74	24.41	23.97	23.19
315.0	25.79	25.46	25.19	25.02	24.69	24.41	23.75	22.86	22.09
360.0	26.02	25.85	25.57	25.35	24.80	24.08	23.19	22.20	20.76
C/γ(°)	63.0	64.0	65.0	66.0	67.0	68.0	69.0	70.0	71.0
0.0	19.65	18.43	17.33	16.44	15.33	14.61	14.17	13.62	13.28
45.0	21.03	19.87	18.71	17.49	16.27	15.50	14.72	14.12	13.67
90.0	20.26	18.93	17.49	16.50	15.61	14.67	14.12	13.73	13.28
135.0	21.48	20.31	19.15	17.66	16.66	15.78	15.00	14.23	13.73
180.0	22.75	21.48	20.37	19.26	18.05	16.77	15.94	15.11	14.50
225.0	21.59	20.20	19.15	17.99	16.77	15.94	15.11	14.50	14.00
270.0	22.20	21.15	20.09	18.76	17.60	16.50	15.67	14.95	14.34
315.0	20.98	19.65	18.54	17.38	16.27	15.44	14.61	14.12	13.67
360.0	19.65	18.43	17.33	16.44	15.33	14.61	14.17	13.62	13.28
C/γ(°)	72.0	73.0	74.0	75.0	76.0	77.0	78.0	79.0	80.0
0.0	12.84	12.51	12.23	11.90	11.57	11.35	11.07	10.74	10.52
45.0	13.34	12.90	12.57	12.18	11.90	11.62	11.35	10.96	10.74
90.0	12.84	12.57	12.23	11.90	11.57	11.29	11.07	10.74	10.41
135.0	13.40	13.01	12.62	12.23	11.96	11.62	11.35	11.13	10.79
180.0	13.89	13.51	13.12	12.73	12.40	12.12	11.73	11.46	11.13
225.0	13.56	13.17	12.79	12.45	12.12	11.79	11.46	11.18	10.85
270.0	13.78	13.40	13.12	12.68	12.34	12.07	11.79	11.40	11.18
315.0	13.23	12.90	12.57	12.23	11.96	11.62	11.29	11.02	10.74
360.0	12.84	12.51	12.23	11.90	11.57	11.35	11.07	10.74	10.52
C/γ(°)	81.0	82.0	83.0	84.0	85.0	86.0	87.0	88.0	89.0
0.0	10.24	10.02	9.80	9.63	9.47	9.24	9.02	8.86	8.86
45.0	10.46	10.19	9.91	9.74	9.52	9.30	9.13	8.97	8.75
90.0	10.19	9.96	9.74	9.58	9.35	9.19	9.02	8.80	8.75
135.0	10.57	10.24	10.02	9.80	9.58	9.35	9.19	9.02	8.80
180.0	10.85	10.63	10.30	10.07	9.80	9.63	9.47	9.24	9.08
225.0	10.63	10.35	10.13	9.85	9.69	9.47	9.30	9.13	8.91
270.0	10.85	10.52	10.19	9.96	9.74	9.58	9.35	9.19	8.97
315.0	10.46	10.19	9.91	9.74	9.58	9.35	9.19	8.97	8.75
360.0	10.24	10.02	9.80	9.63	9.47	9.24	9.02	8.86	8.86

Intensity data(cd)

C/γ(°)	90.0
0.0	8.86
45.0	8.75
90.0	8.75
135.0	8.75
180.0	8.91
225.0	8.80
270.0	8.80
315.0	8.69
360.0	8.86